

Über die Integration von analytischen und tabellarischen S-Parametermodellen in Transientensimulationen

Oliver Soffke, Thomas Hollstein, Ralf Kügler
und Manfred Glesner

5. Juli 2006

- 1 Motivation und Lösungsansatz
- 2 Kurze Auffrischung: Streumatrix/S-Parameter
- 3 Verilog-A: Eigenschaften und Beispiele
- 4 Erweiterung auf Wellengrößen
- 5 Fluß-Potential Konverter
- 6 Das eigentliche Modell
- 7 S-Parameter: Beispiele
- 8 Beispiel für eine Wellensimulation
- 9 Tabellarische S-Parameter
- 10 Zusammenfassung

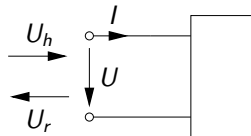
- Die bidirektionale Übertragung zwischen Lesegerät und Tag muß akkurat erfasst werden
 - Einfache Modelle: gekoppelte Spulen, Koppelkondensator, etc. . .
 - Komplexere analytische Modelle lassen sich entweder als klassische Zweitore (z. B. RLC-Netzwerke) oder als Streumatrizen (z. B. Wellenleiter, UHF-Antennen) angeben
 - Messtechnisch: Reale Antennenpaare liegen als tabellarische S-Parameterbeschreibungen vor
 - Simulation: Geometrisch beschriebene Antennenpaare liegen als tabellarische S-Parameterbeschreibungen vor
- ⇒ Eine gemischte Simulation ist wünschenswert

- Integration von S-Parameterbeschreibungen in Schaltungssimulatoren
- S-Parameter liegen entweder **analytisch** ...
 - Implementierung mit **Verilog-A**
 - Verilog ähnliche Syntax
 - Erlaubt die Beschreibung **analoger** Größen
 - Verilog + Verilog-A = Verilog-AMS
- ...oder **tabellarisch** vor
 - Beschreibung durch **gebrochen rationale Funktion**
 - Bestimmung der Koeffizienten mittels **Regression**
 - In **Spectre** bereits integriert

Kurze Auffrischung: Streumatrix/S-Parameter

Mathematisch: Lineare Abbildung von Spannung und Strom auf hin- und rücklaufende Spannungswelle:

$$U = U_h + U_r$$
$$IZ_0 = U_h - U_r$$



Anschaulich: Auf einer Leitung mit Wellenwiderstand Z_0 läuft eine Welle U_h auf das Tor zu und eine Welle U_r vom Tor weg.

Die klassischen Zweitorgleichungen setzen die Spannungen und Ströme an den Toren zueinander ins Verhältnis (Z -, Y -, H - oder G -Matrix). Die Streumatrix setzt die hin- und rücklaufenden Wellen an den Toren zueinander ins Verhältnis:

$$\begin{pmatrix} b_1 \\ b_2 \end{pmatrix} = \begin{pmatrix} S_{11} & S_{12} \\ S_{21} & S_{22} \end{pmatrix} \begin{pmatrix} a_1 \\ a_2 \end{pmatrix} \quad \text{mit} \quad a = \frac{U_h}{\sqrt{Z_0}}, \quad b = \frac{U_r}{\sqrt{Z_0}}$$

- Verilog-ähnliche Syntax
- Erlaubt die Beschreibung „analoger“ (zeit- und wertkontinuierlicher) Vorgänge
- Modellierung durch Netzwerk aus gesteuerten Quellen
- Ein Modell besitzt **Knoten**, **Zweige** und **Tore**
 - Ein **Zweig** verbindet zwei **Knoten**
 - Mehrere parallele Zweige möglich
 - Ein **Tor** ist ein Verbindungsknoten nach außen
- Einem Zweig kann entweder der **Fluß** durch den Zweig oder das **Potential** über dem Zweig zugewiesen werden
- In beiden Fällen kann aber sowohl das Potential als auch der Fluß gelesen werden
- Wechsel der Zuweisung zwischen Potential und Fluß möglich
→ Modellierung idealer Schalter
- Sonden (Probes):
 - Weder Fluß noch Potential werden zugewiesen
 - Entweder Potential **oder** Fluß kann gelesen werden
 - Die **nicht gelesene** Größe wird implizit zu **Null** gesetzt.

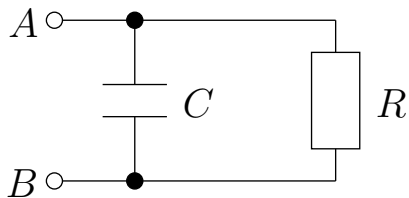
- Zuweisungen sind **akkumulativ**
- Verilog-A erlaubt **multidisziplinäre** Simulationen
 Beispiel: Mechanische belasteter E-Motor und zugehörige
 Steuerelektronik
- Den **Knoten** werden entsprechende **Disziplinen** zugeordnet
- In jeder **Disziplin** wird eine Größe als Fluß und eine
 entsprechend zugehörige Größe als Potential modelliert

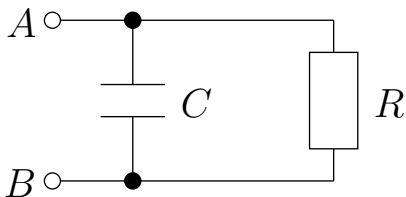
Beispiele:

Disziplin	Fluß	Potential
elektrisch	Strom	Spannung
Kinematik	Kraft	Ort
Rotation	Drehmoment	Winkel
Wellen	einlaufend	auslaufend

- Die Disziplin „**Wellen**“ wurde hinzugefügt

Verilog-A (Beispiele)





Möglichkeit I

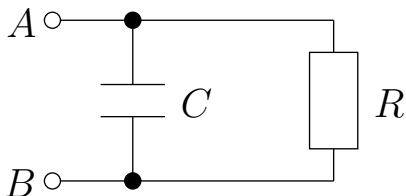
```
branch (A,B) Res;
```

```
branch (A,B) Cap;
```

...

```
V(Res) <+ R*I(Res);
```

```
I(Cap) <+ C*ddt(V(Cap));
```



Möglichkeit I

```
branch (A,B) Res;
```

```
branch (A,B) Cap;
```

...

```
V(Res) <+ R*I(Res);
```

```
I(Cap) <+ C*ddt(V(Cap));
```

Möglichkeit II

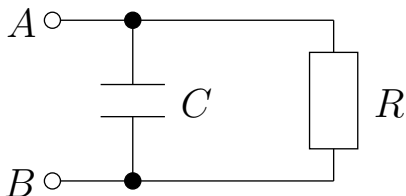
```
branch (A,B) Res;
```

```
branch (A,B) Cap;
```

...

```
V(Res) <+ R*I(Res);
```

```
V(Cap) <+ idt(I(Cap))/C;
```



Möglichkeit I

branch (A,B) Res;

branch (A,B) Cap;

...

$V(\text{Res}) <+ R * I(\text{Res});$

$I(\text{Cap}) <+ C * \text{ddt}(V(\text{Cap}));$

Möglichkeit II

branch (A,B) Res;

branch (A,B) Cap;

...

$V(\text{Res}) <+ R * I(\text{Res});$

$V(\text{Cap}) <+ \text{idt}(I(\text{Cap}))/C;$

Möglichkeit III

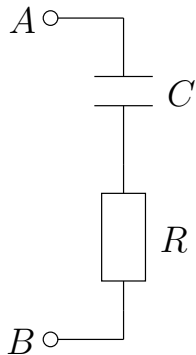
branch (A,B) RC;

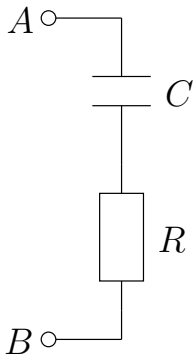
...

$I(\text{RC}) <+ V(\text{RC})/R;$

$I(\text{RC}) <+ C * \text{ddt}(V(\text{RC}));$

Verilog-A (Beispiele)





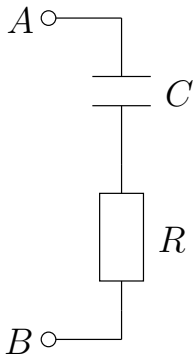
Möglichkeit 1

```
branch (A,B) RC;
```

...

```
V(RC) <+ R*I(RC);
```

```
V(RC) <+ idt(I(RC))/C;
```



Möglichkeit I

```
branch (A,B) RC;
```

...

```
V(RC) <+ R*I(RC);
```

```
V(RC) <+ idt(I(RC))/C;
```

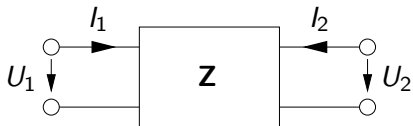
Möglichkeit II

```
branch (A,B) RC;
```

...

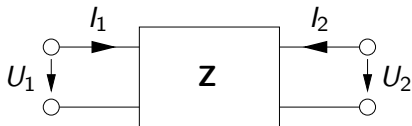
```
I(RC) <+ C*ddt(V(RC)-R*I(RC));
```

Verilog-A: Implementierung der Z-Matrix



$$\begin{pmatrix} U_1 \\ U_2 \end{pmatrix} = \underbrace{\begin{pmatrix} Z_{11} & Z_{12} \\ Z_{21} & Z_{22} \end{pmatrix}}_Z \begin{pmatrix} I_1 \\ I_2 \end{pmatrix}$$

Verilog-A: Implementierung der Z-Matrix



$$\begin{pmatrix} U_1 \\ U_2 \end{pmatrix} = \underbrace{\begin{pmatrix} Z_{11} & Z_{12} \\ Z_{21} & Z_{22} \end{pmatrix}}_Z \begin{pmatrix} I_1 \\ I_2 \end{pmatrix}$$

Reelle Impedanzen

```
branch (A1, A0) PortA;
```

```
branch (B1, B0) PortB;
```

...

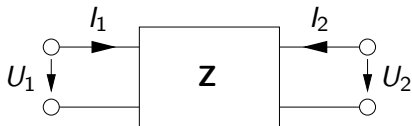
```
V(PortA) <+ Z11*I(PortA);
```

```
V(PortA) <+ Z12*I(PortB);
```

```
V(PortB) <+ Z21*I(PortA);
```

```
V(PortB) <+ Z22*I(PortB);
```

Verilog-A: Implementierung der Z-Matrix



$$\begin{pmatrix} U_1 \\ U_2 \end{pmatrix} = \underbrace{\begin{pmatrix} Z_{11} & Z_{12} \\ Z_{21} & Z_{22} \end{pmatrix}}_Z \begin{pmatrix} I_1 \\ I_2 \end{pmatrix}$$

Reelle Impedanzen

```
branch (A1, A0) PortA;
```

```
branch (B1, B0) PortB;
```

...

```
V(PortA) <+ Z11*I(PortA);
```

```
V(PortA) <+ Z12*I(PortB);
```

```
V(PortB) <+ Z21*I(PortA);
```

```
V(PortB) <+ Z22*I(PortB);
```

Komplexe Impedanzen

...

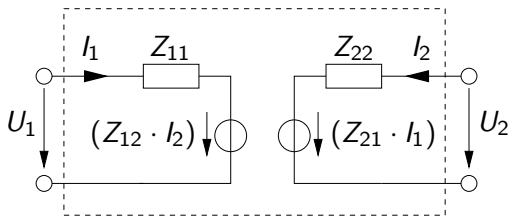
```
V(PortA) <+ laplace_nd(I(PortA), Num11, Denom11);
```

```
V(PortA) <+ laplace_nd(I(PortB), Num12, Denom12);
```

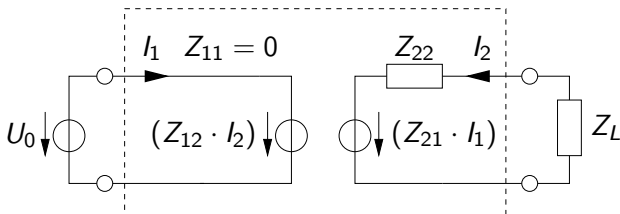
```
V(PortB) <+ laplace_nd(I(PortA), Num21, Denom21);
```

```
V(PortB) <+ laplace_nd(I(PortB), Num22, Denom22);
```

Verilog-A: Implementierung der Z-Matrix

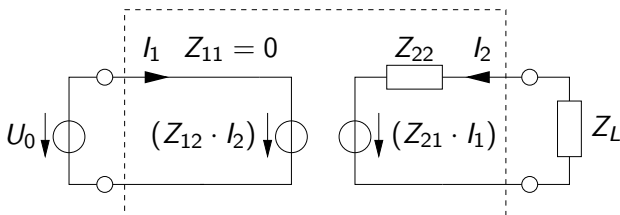


Verilog-A: Implementierung der Z-Matrix



- Ideale Spannungsquelle am Eingang
- Eingangswiderstand $Z_{11} = 0$

Verilog-A: Implementierung der Z-Matrix



- Das Gleichungssystem $\begin{pmatrix} U_0 \\ 0 \end{pmatrix} = \begin{pmatrix} 0 & Z_{12} \\ Z_{21} & (Z_{22} + Z_L) \end{pmatrix} \begin{pmatrix} I_1 \\ I_2 \end{pmatrix}$ ist **eindeutig lösbar**:

$$I_2 = \frac{U_0}{Z_{12}}, I_1 = -\frac{(Z_{22} + Z_L) U_0}{Z_{12} Z_{21}}$$

- Dennoch läßt sich die Schaltung nicht simulieren
 - **Topologieprüfung** des Simulators meldet Fehler
 - Parallelschaltung zweier idealer Spannungsquellen
 - Die Quelle $Z_{12} \cdot I_2$ wird **ausschließlich** von den Größen anderer Zweige gesteuert

Erweiterung auf Wellengrößen

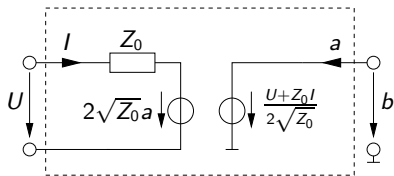
- Zuordnung der Wellengrößen
 - Fluß: Einlaufende Welle
 - Potential: Auslaufende Welle

mydisciplines.vams

```
nature IncidentWave
units = "V/sqrt(Ohm)";
access = A;
endnature
```

```
nature ReflectedWave
units = "V/sqrt(Ohm)";
access = B;
endnature
```

```
discipline waves
potential ReflectedWave;
flow IncidentWave;
enddiscipline
```



- Konverter von U/I auf a/b
- Potential oder Fluß eines Zweiges kann zugewiesen werden:

$$b = \frac{U + Z_0 \cdot I}{2\sqrt{Z_0}}$$

$$U = 2\sqrt{Z_0} \cdot a + Z_0 \cdot I$$

- Zwei gesteuerte Potentialquellen
- Durch den Serienwiderstand Z_0 gibt es keine Probleme mit der Topologieprüfung

- Auslaufende Welle von Modul A ist einlaufende Welle von Modul B und umgekehrt
- Dies ist durch einfaches Zusammenschalten nicht gewährleistet
- Ein spezielle „Verbindungsmodul“ wird benötigt

→ Fluß-Potential Konverter

- Setzt auslaufende Welle von Modul A auf einlaufende Welle von Modul B um
- Besteht aus zwei **gesteuerten Flußquellen**
- Zusammenschaltung mit den gesteuerten Potentialquellen der „regulären“ **Module** problemlos möglich

Fluß-Potential Konverter

```
module FPX (W1, W2);  
waves W1, W2;  
branch (W1) W1port;  
branch (W2) W2port;  
  
analog begin  
A(W1port) <+ -B(W2port);  
A(W2port) <+ -B(W1port);  
end  
endmodule
```

Das eigentliche Modell

- Das Modell selbst wird im Falle eines Zweitports folgendermaßen beschrieben:

$$b_1 = S_{11}a_1 + S_{12}a_2$$

$$b_2 = S_{21}a_1 + S_{22}a_2$$

- Dies läßt sich unmittelbar in Verilog-A umsetzen:

S-Matrix Implementierung

```
...  
B(W1Port) <+ laplace_nd(A(W1Port), Num11, Denom11);  
B(W1Port) <+ laplace_nd(A(W2Port), Num12, Denom12);  
B(W2Port) <+ laplace_nd(A(W1Port), Num21, Denom21);  
B(W2Port) <+ laplace_nd(A(W2Port), Num22, Denom22);
```

- Durch den Fluß-Potential-Konverter ist das Zusammenschalten problemlos möglich, auch wenn $S_{11} = 0$ und/oder $S_{22} = 0$ (Topologieprüfung!)
- Dieses läßt sich direkt auf N -Tore erweitern

S-Parameter: Beispiele

- Zusätzlich können die analogen Operatoren, wie beispielsweise `delay()` zum Einsatz kommen

RC-Tiefpass

$$S = \begin{pmatrix} \frac{R + CZ_0(R - Z_0)s}{R + 2Z_0 + CZ_0(R + Z_0)s} & \frac{2Z_0(R + Z_0)}{Z_0(3R + 2Z_0) + R^2 + CZ_0(R + Z_0)^2s} \\ \frac{2Z_0(R + Z_0)}{Z_0(3R + 2Z_0) + R^2 + CZ_0(R + Z_0)^2s} & \frac{R - CZ_0(R + Z_0)s}{R + 2Z_0 + CZ_0(R + Z_0)s} \end{pmatrix}$$

```
B(W1port) <+ laplace_nd(A(W1port), {R, C*Z0*(R-Z0)}, {R+2*Z0, C*Z0*(R+Z0)});  
B(W1port) <+ laplace_nd(A(W2port), {2*Z0*(R+Z0)}, {Z0*(3*R+2*Z0)+R*R, C*Z0*(R+Z0)*(R+Z0)});  
B(W2port) <+ laplace_nd(A(W1port), {2*Z0*(R+Z0)}, {Z0*(3*R+2*Z0)+R*R, C*Z0*(R+Z0)*(R+Z0)});  
B(W2port) <+ laplace_nd(A(W2port), {R, -C*Z0*(R+Z0)}, {R+2*Z0, C*Z0*(R+Z0)});
```

Verlustlose Leitung

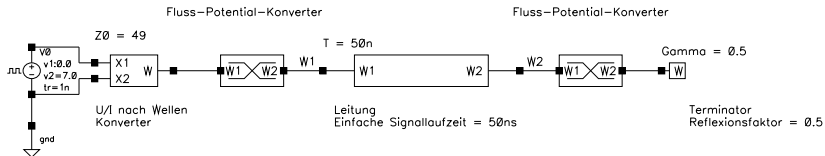
$$S = \begin{pmatrix} 0 & e^{-sT} \\ e^{-sT} & 0 \end{pmatrix}$$



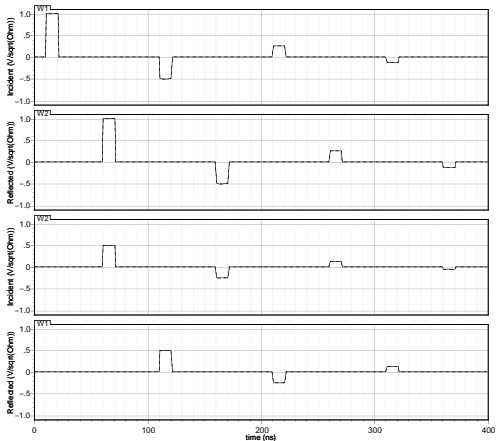
$$b_1(t) = a_2(t - T)$$
$$b_2(t) = a_1(t - T)$$

```
B(W1port) <+ delay(A(W2port), T);  
B(W2port) <+ delay(A(W1port), T);
```

Beispiel für eine Wellensimulation



Transient Response



Terminator

$$B(W) <+ \Gamma * A(W);$$

- Häufig liegt die Streumatrix nicht in analytischer sondern in tabellarischer Form vor
 - Messung mit Vektoranalysator
 - EM Simulationen
 - ...
- S-Parameter lassen sich häufig als **gebrochen rationale Funktion** ausdrücken:

$$S_{nm} = \frac{\sum_{i=0}^{\infty} b_i s^i}{\sum_{i=0}^{\infty} a_i s^i} \approx \frac{\sum_{i=0}^M b_i s^i}{\sum_{i=0}^N a_i s^i}$$

- Die Koeffizienten lassen sich durch **nichtlineare Regression** bestimmen
- Ein entsprechender Algorithmus ist in **Cadence Spectre** bereits implementiert

- Verilog-A ist für die Verhaltensbeschreibung und Modellierung mit zeit- und wertkontinuierlichen Größen hervorragend geeignet (aber auch Abtastung kann modelliert werden)
- Viele „analoge“ Operatoren stehen zur Verfügung:
 - `delay()` für Verzögerungen
 - `transition()` für steigende und fallende Flanken
 - Zeitkontinuierliche Filter (`laplace_xy()`)
 - Zeitdiskrete Filter (`zi_xy()`)
 - `ddt()` und `idt()` für Ableitung und Integration nach der Zeit
- Zur Beschreibung komplexer Größen im Frequenzbereich kann der `laplace_xy()`-Operator verwendet werden
- Allerdings muß auf die resultierende **Schaltungstopologie** geachtet werden
- Modellierung ist **multidisziplinär**
 - Elektrisch, mechanisch, thermisch, etc. . .
 - Eine Disziplin „**Wellen**“ wurde hinzugefügt

- „Supportmodule“ wurden entwickelt
 - Transformation der U/I -Ebene in die A/B -Ebene und umgekehrt
 - Verbindung der einzelnen Modelle
- Beispielsimulation mit einer einfachen Leitung
 - Lässt sich durch Streuparameter sehr einfach beschreiben
 - Gemischte U/I und A/B Simulation möglich: Jedes System lässt sich in der jeweils einfachsten Weise modellieren
- Tabellarische S-Parameter lassen sich durch **nichtlineare Regression** auf gebrochen rationale Funktionen abbilden
- Auf diese Weise ist es möglich messtechnisch oder durch numerische Simulationen erfasste Systeme in die Gesamtsimulation einzubeziehen

?

!

?

Vielen Dank

!

?

!